

北海道大学工学部 学生員 ○許士 格恭
 北海道大学工学部 学生員 山田 滉
 北海道大学工学部 正員 佐伯 浩

§1. 緒論 本研究は、海岸構造物前面における波浪の特性について調べたもので、特に重複波動理論（線形重複波理論及び有限振幅重複波理論）の適用限界を波形から明らかにする事と、重複波のWave Set up量を実験的に求め、Longuet-Higgins等の理論との比較を行う事を目的としている。また木底勾配 $S=1/30$ での実験を行い、合わせて、重複波理論の斜面での適用性についても、碎波限界及び波形の面から調べたものである。

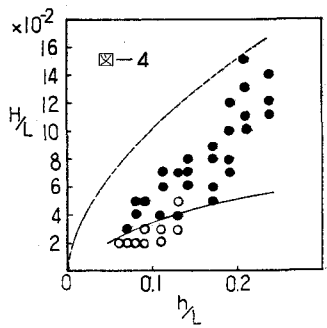
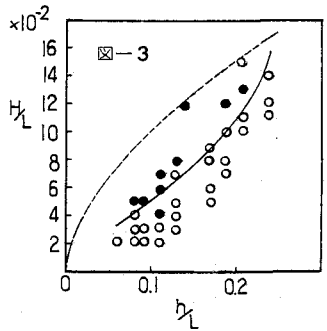
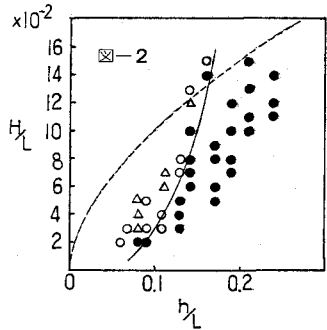
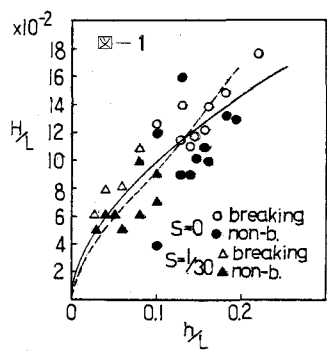
§2. 実験装置及び方法 実験に用いた木路は、長さ24m、幅26m、深さ1mの両面ガラス張りのものを用い、これに傾斜板を入れて $1/30$ とした。

木底は耐水ペニヤにビニール塗装して摩擦の低減についた。データーは、データーレコーダーに記録すると同時にビデオグラフに波形を記録して波高を測定した。また、平均水位上昇量はシグナルプロセッサーを使用して波形が安定している部分の5波を用いて算出した。また、有効時間としては $t/t_{\text{peak}} < t < 3t_{\text{peak}}$ を用いた。ここでは有効木路長、 t は水深である。また、実験は水深一定の場合と木底勾配 $S=1/30$ の場合について行ない、構造物は直立壁としたか、一部、傾斜角 $\theta = 60^\circ$ にして実験を行なった。

§3. 碎波限界 実験では周期を固定のまま碎波が起きるまで波高を上げていった。その結果が図1である。ここで○印は木底勾配 $S=0$ であり、

△▲印は碎波が行なわなかったことを示している。グラフ中の曲線は岸による理論曲線を実線で、合田等が計算したTadjibekch,Kellerの理論曲線を破線で示してある。これを見ると実験値は理論値にはほぼ一致しており、また $S=1/30$ データーも同様に一致している。これは木底勾配が $1/30$ 程度では碎波限界には大きな影響がないことを表わしている。水深一定で求めた波動理論か、 $S < 1/30$ の範囲ではかなりの精度で適用可能である事を示している。

§4. Inflection Point の発生限界 アーセル数が大きくなると一般に波谷部に小山が発生する。これは波動理論から求められた二次波とは違っていわゆる波の分裂現象による起こるもので、こつ山をInflectionと定義した。時間波形の第三次近似理論曲線を見ると $t/T=0.35$ 及び 0.65 近傍で曲線が屈曲しているグラフが認められる。これは進行波のストークス波の近似解にも表われていてInflection Pointと呼ばれる。これは実際の波では表われず不自然な波形であるか、理論においてこつ屈曲が表われた原因は表面波形が級数による最初の3項までしか扱わないからであり、級数解が収束しないといふことを示している。この発生の有無を表わしたもののが図2である。ここで黒塗りはInflection Pointの発生が認められないもの、白抜きは認められるものである。このInflection Pointの発生限界を調べるためにアーセル



数を導入してみると、16においてはほどの限界と一致する。この様な現象は進行波でも見られ、佐伯等の結果では $h_L > 22$ の範囲で発生している。

§ 5. 波形から見た理論の適用限界 時間波形について線形理論と第三次近似解曲線との適合を 15 % の誤差を許容できることとして調べたものが図

3, 4 である。図 3 が第三次近似解との適合を調べたもので ●印が 15 % 以上誤差が認められるもので、○印が許容内のものである。この曲線より波形勾配 H_L/h_L が小さい領域が第三次近似解の適用領域である。また、図 4 は線形理論の適用限界を調べたものであり、記号は同じである。曲線よりも波形勾配が小さい範囲が線形理論の適用範囲である。今、この曲線の式を求めてみると $H_L = 0.0611 \tanh(2\pi h_L)$ で表わされる曲線がよくあてはまることが確かめられた。これより波形勾配についてみると、図 4 の曲線より小さい範囲においては線形理論が適用され、これより図 3 の曲線までの範囲においては第三次近似解の適用範囲となる。これより大きな範囲はどちらの理論も適用できない範囲である。両理論の適用外の範囲はほぼ Inflection Point の発生している領域に似かよっている。これはアーセル数が大きくなると進行波にも見られる波の分裂現象により発

生する Soliton と同じような性質を持ったものであると思われる。この二つの理論波形にも含まれない領域では、一般に波頂水位は実験値の方が小さく、波谷部の水位は逆に実験値の方が高い水位を示す。それぞれの理論を使用する場合にはその適用範囲を考慮することが必要であると考えられる。

§ 6. Wave Set up の空間分布 図 5, 6 が Wave Set up

の空間分布を示したものである。それぞれグラフにおける曲線は Longuet-Higgins 等が求めた重複波に対する平均水位上昇量の理論式 $\bar{h}_L = (H/4)^2 k \cdot \coth 2kh \cdot \cos 2kx$ である。ここで $k = 2\pi/L$ である。本研究の結果では $S = 0$ では周期が 1.2 秒以上でアーセル数が 10 を越えてくると理論と実験との適合がよくなくなってくるが、その

差はそれほど大きなものではない。しかしアーセル数が 30 を越えるとデータのバラツキが大きくなる事が明らかとなつた。また $S = 1/30$ においては $S = 0$ の場合の適合度とよく似かる、ここで水底勾配の影響はそれほどみられなかった。また、

$S = 1/30$ で構造物が $\theta = 60^\circ$ で傾斜している場合にも、 $\theta = 90^\circ$ の場合とは大きな差はない事が明らかとなった。この wave set up 量と理論とか比較的よく適合しているものについて示したもののが図 7 から 11 である。ここで図 7, 8 は $S = 0$ のもの、

図 9, 10 は $S = 1/30$ で反射壁が鉛直なもの、図 11 は、 $S = 1/30$ で反射壁が鉛直 $\times 60^\circ$ の角度をもつものの実験結果である。これらを見ると、理論と実験とは水底勾配が $1/30$ 程度ではよく理論に一致していることが認められる。

また、あとがき 本研究は文部省科学研究費「自然災害特別研究（代表者 土屋義人 京大教授）によるもの

である事を付記する。

